

***Raport stiintific***  
*privind implementarea proiectului in perioada 10.2011-12.2013*  
Etapa Unica 2013

CONTRACTOR	UNITATEA CONTRACTANTA
<b>Institutul National de Cercetare-Dezvoltare pentru Microtehnologie  IMT-Bucuresti</b>	<b>Unitatea Executiva pentru Finantarea Invatamantului Superior, a Cercetarii, Dezvoltarii si Inovarii UEFISCDI</b>

*Cod proiect: PN-II-ID-PCE-2011-3-1065*

Contract de finantare nr. 179/07.10.2011

*Titlul proiectului:* Experimental investigation on the order parameter symmetry of the superconducting  $\text{Sr}_{1-x}\text{La}_x\text{CuO}_2$  thin films using SQUIDs

Director proiect

04.12.2013

Dr. Victor Leca

Bucuresti

## **1. Introducere**

Pana in aceasta etapa a proiectului (perioada 10.2011-12.2013) au fost realizate urmatoarele studii/obiective: sinteza compusilor  $Sr_{1-x}La_xCuO_2$  ( $x=0.125$  si  $0.15$ ) sub forma de filme subtiri si studii asupra interdependentei dintre parametrii de depunere si proprietatile structurale si electrice; dezvoltare de tehnologii pentru modificarea suprafetei substraturilor de  $KTaO_3$  (001); studii asupra jonctiunilor Josephson tip bicristal pe baza de  $Sr_{0.85}La_{0.15}CuO_2$  – studii de microstructura (XRD, HRTEM), masuratori electrice in scopul determinarii simetriei parametrului de ordine a materialului supraconductor; studii asupra rolului  $BaTiO_3$ , ca strat tampon, asupra microstructurii si proprietatilor electrice a filmelor de  $Sr_{0.85}La_{0.15}CuO_2$  crescute pe suport de  $SrTiO_3$  (001); studii preliminare asupra SQUID-urilor pe baza de jonctiuni Josephson tip bicristal din  $Sr_{0.85}La_{0.15}CuO_2$  – fabricare, caracterizare electrica; instalare echipament pentru corodare fizica cu ioni de Ar.

Pentru realizarea activitatilor experimentale prevazute in cadrul proiectului in primii doi ani, filmele subtiri de  $Sr_{0.85}La_{0.15}CuO_2$  au fost crescute prin metoda ablatiei laser, folosindu-se un laser cu excimeri pe baza de KrF ( $\lambda=248$  nm,  $\tau=10$  ns), pe suport de  $SrTiO_3$  (001),  $DyScO_3$  (110) sau  $KTaO_3$  (001), toate monocristale; pentru fabricarea jonctiunilor s-au utilizat bicristale simetrice de  $SrTiO_3$  (001), cu unghiul  $\alpha$  (unghiul facut de monocristalele constitutive ale bicristalului) de  $24^\circ$  ( $12^\circ/12^\circ$ ) si  $30^\circ$  ( $15^\circ/15^\circ$ ), precum si pe bicristale asimetrice de  $SrTiO_3$  (001) cu unghiul de  $45^\circ$  ( $0/45^\circ$ ). Compozitia filmelor a fost determinata prin difractie de raze X (XRD), cu un difractometru Rigaku, iar microstructura prin intermediul microscopiei de transmisie de electroni de inalta rezolutie (HRTEM), cu un microscop Titan (la Institutul de Tehnologie din Karlsruhe, Germania). Masuratorile electrice au fost realizate intr-un criostat cu He lichid, in domeniul de temperaturi  $4.2$ - $300$  K, in conditii de ecranare electrica si magnetica (pentru jonctiuni), in cadrul Universitatii din Tübingen, Institutul de Fizica, Departamentul de Fizica Experimentala II, Tübingen (Germania).

## **2. Rezultate experimentale**

### *2.1. $KTaO_3$ - Tratamente de suprafata*

Substraturile de  $KTaO_3$  (KTO) sunt dintre cele mai utilizate in prezent pentru cresterea epitaxiala de filme subtiri de  $Sr_{0.85}La_{0.15}CuO_2$  (SLCO); datorita diferentei dintre parametrii de retea ai filmului si substratului, filmele de SLCO sunt supuse stresului de tip “tensile” in timpul cresterii, care favorizeaza aparitia supraconductibilitatii in aceste filme prin transferul de electroni din planele Sr/La, in planele de  $CuO_{2-x}$ . Dar, datorita morfologiei suprafetei acestor substraturi, cu imperfectiuni rezultante in urma procesului de polizare mecanica, filmele de SLCO contin defecte de structura, cu impact negativ asupra microstructurii. In scopul imbunatatirii morfologiei acestor substraturi s-au realizat studii preliminare de dezvoltare tehnologii de corodare chimica si fizica a suprafetei. Corodarea chimica consta in atacul chimic al suprafetei cu solutii pe baza de acizi anorganici ( $HCl$  sau  $HCl+HNO_3$ ), urmat de un tratament termic (la  $900^\circ C$ , in oxigen) pentru recristalizarea suprafetei. Metoda fizica a constat din corodarea suprafetei in plasma, suprafata rezultata fiind apoi tratata termic pentru recristalizare. Ambele metode au rezultat in imbunatatirea morfologiei suprafetei, dar insuficient

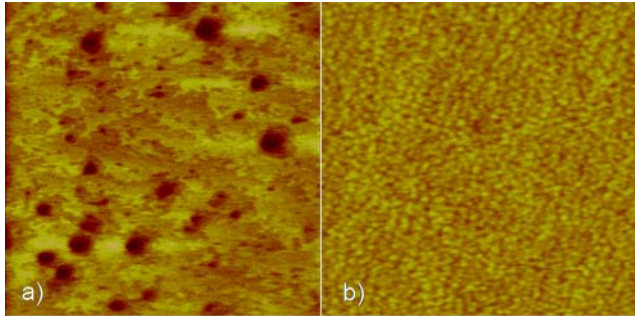


Fig 1. Imagini topografice AFM: a) substrat de  $KTaO_3$  (001) tratat termic la  $700\text{ }^{\circ}\text{C}$ , în  $O_2$  ( $100\text{ cm}^3/\text{min}$ );  $rms=0,50\text{ nm}$ ; b) film de  $Sr_{0,85}La_{0,15}CuO_2$  cu grosimea de  $45\text{ nm}$  crescut pe acesta;  $rms=0,350\text{ nm}$ .

Dimensiunea imaginilor este de  $2\times 2\text{ }\mu\text{m}^2$ .

pentru eliminarea completa a defectelor suprafetei. Studii asupra acestor metode se vor realiza în continuare, ca parte a studiilor pe anul 2014, și se va extinde la dezvoltare de metode de corodare fizica pe baza de ioni de Ar pentru acest tip de substrat. În prezent metoda care se poate utiliza cu succes pentru imbunatarirea morfologiei acestor substraturi este depunerea unui strat subtire, de cativa nm, de KTO, rugozitatea suprafetei reducându-se la valori mai mici de  $1\text{ nm}$ , sau prin tratament termic în oxigen, la temperatura moderată (Fig. 1a).

## 2.1. Jonctiuni tip bicristal pe baza de $Sr_{0,85}La_{0,15}CuO_2$ : fabricare și caracterizare microstructurală

O alta activitate desfasurată în cadrul proiectului pana acum a constat din studii asupra jonctiunilor Josephson tip bicristal (dezvoltare tehnologie, studii structurale și electrice). Conform imaginii prezentate în Fig 2., jonctiunile Josephson tip bicristal sunt constituite din doi electrozi dintr-un material supraconductor, separati de o bariera nesupraconductoare (lipitura dintre cele două monocristale componente ale bicristalului), cu grosime de cativa nm. În acest tip de jonctiune

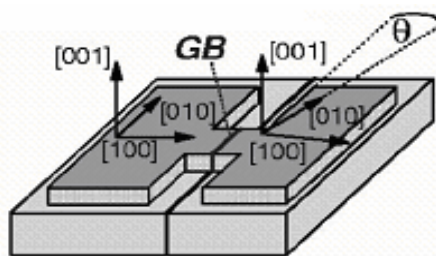


Fig. 2. Reprezentare schematică a jonctiunilor Josephson tip bicristal [3].

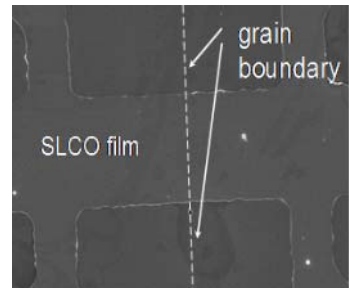


Fig. 3. Imagine SEM a unei jonctiuni Josephson tip bicristal pe baza de  $Sr_{0,85}La_{0,15}CuO_2$ , crescut pe bicristal simetric ( $\alpha=24^\circ$ ) de  $SrTiO_3$  (001).

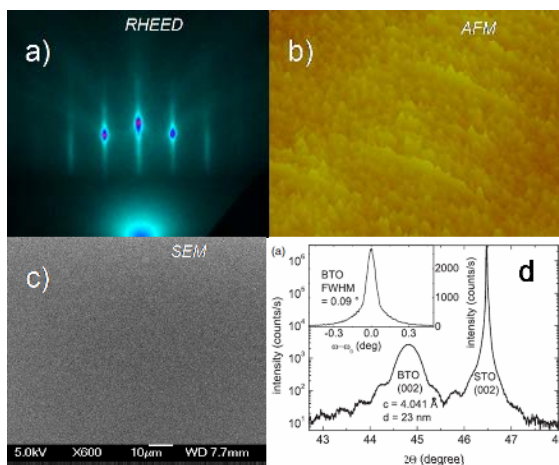


Fig 4. Rezultate experimentale obtinute pe un film de  $BaTiO_3$  crescut pe monocristal de  $SrTiO_3$  (001): a) imagine RHEED, b) imagine AFM, c) imagine SEM, d) spectru de difracție (scan  $2\theta/\omega$ ).

transportul curentului electric intre electrozi se face prin tunelare, in planul *ab*, prin bariera, filmele fiind crescute epitaxial, cu axa c perpendicular pe suprafata substratului. De aceea, caracteristicile electrice ale jonctiunii vor fi determinate nu numai de proprietatile materialului supraconductor, dar si de calitatea barierei (in special grosimea si distributia grosimii barierei de-a lungul “grain boundary”). Pentru fabricarea jonctiunilor de tip bicristal pe baza de  $\text{Sr}_{1-x}\text{La}_x\text{CuO}_2$  (SLCO), filmele au fost crescute pe substraturi tip bicristal simetric din  $\text{SrTiO}_3$  (001) (cu unghiul de  $24^\circ$  sau  $30^\circ$ ) si ulterior structurate, prin fotolitografie, prin intermediul unei masti metalice si corodare cu ioni de Ar, in jonctiunile cu dimensiunea dorita. In Fig 3 este prezentata o astfel de jonctiune, cu latimea de  $20 \mu\text{m}$ . Cresterea filmelor SLCO s-a realizat la temperaturi de  $600^\circ\text{C}$ , o presiune de lucru de  $0,25 \text{ mbar O}_2$  si la o frecventa a laserului de  $2 \text{ Hz}$ . Tinta a fost pozitionata la o distanta tinta-substrat  $d_{ts}=60 \text{ mm}$ , iar densitatea de energie a laserului pe tinta a fost  $f=1.75-2 \text{ J/cm}^2$ . Pentru obtinerea supraconductibilitatii in aceste filme [1, 2] a fost necesara utilizarea unui strat tampon de  $\text{BaTiO}_3$  (BTO). Acesta a fost crescut la temperaturi de  $750^\circ\text{C}$  si la o presiune a gazului de  $0,10 \text{ mbar O}_2$ ; pentru distanta tinta-substrat s-a folosit o valoare  $d_{ts}$  de  $65 \text{ mm}$ , iar densitatea de energiei a laserului pe tinta a fost de  $1.75 \text{ J/cm}^2$ . In scopul relaxarii si reducerii/pozitionarii defectelor de structura la interfata cu substratul [4], filmele de BTO au fost supuse unui tratament termic post-depozitie la  $975^\circ\text{C}$  pentru 15 minute la o presiune de  $0,10 \text{ mbar O}_2$ , urmat de un al doilea tratament termic, in vid - la  $10^{-7} \text{ mbar}$ , timp de 30 minute. In urma tratamentelor termice suprafata filmului s-a imbunatatit, evidentiat din evolutia spectrelor RHEED (Fig 4a) si, de asemenea, in relaxarea filmului prin eliminarea partiala a stresului epitaxial, asa cum a rezultat din datele XRD (Fig 4d). Conform datelor XRD, filmele de BTO au avut parametrii de retea cu valori de  $a \sim 3.990 \text{ \AA}$ ,  $c \sim 4.030 \text{ \AA}$ , in timp ce filmele de SLCO crescute pe aceste straturi tampon au avut parametrii de retea cu valori  $a \sim 3.967 \text{ \AA}$  si  $c \sim 3.407 \text{ \AA}$ , respectiv. Caracterizarea filmelor s-a

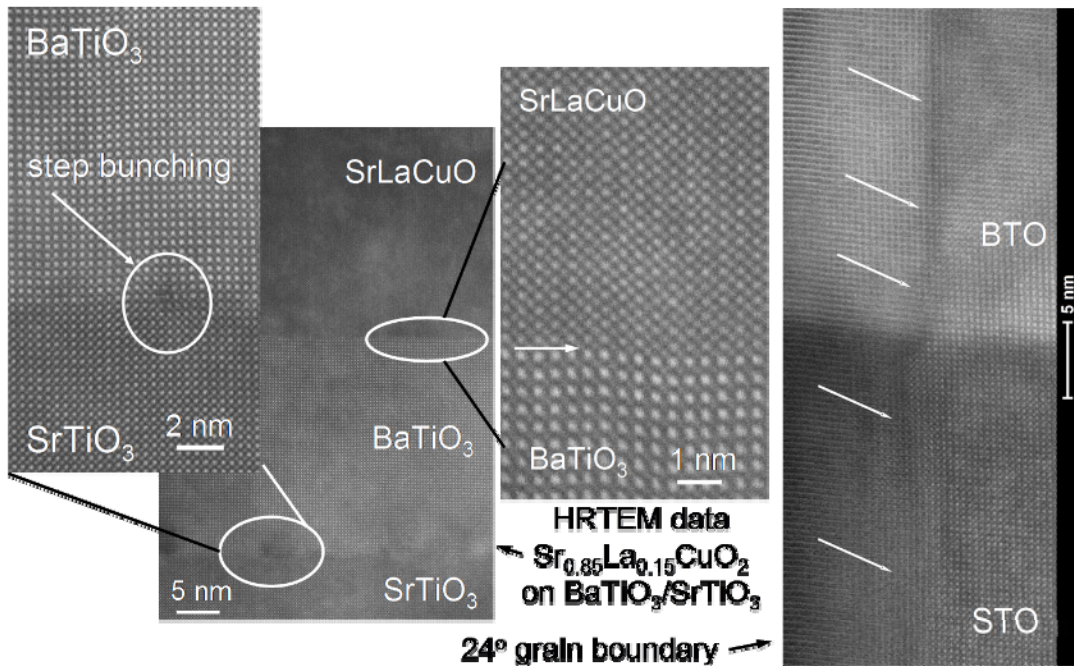


Fig 5. Imagini HRTEM obtinute pe un film de  $\text{Sr}_{0.85}\text{La}_{0.15}\text{CuO}_2$  crescut pe un bicristal simetric de  $24^\circ$  de  $\text{SrTiO}_3$ , cu strat tampon de  $\text{BaTiO}_3$ .

facut prin RHEED (in-situ), XRD, AFM si SEM in scopul determinarii compozitiei si morfologiei, in timp ce proprietatile electrice ale filmelor de SLCO au fost masurate intr-un criostat cu He lichid in domeniul de temperaturi 4.2-300 K. Parte din filme au fost analizate prin intermediul HRTEM pentru determinarea caracteristicilor microstructurale si a proprietatilor interfetelor. In Fig 4 sunt prezentate date experimentale (RHEED, AFM, SEM si XRD) obtinute pe un film de BaTiO<sub>3</sub>.

Pentru o mai buna intelegerere a rolului stratului tampon si a microstructurii filmelor asupra caracteristicilor electrice ale jonctiunilor au fost realizate studii prin intermediul microscopului electronic prin transmisie de electroni (HRTEM) la Institutul de Tehnologie din Karlsruhe (Germania). In Fig. 5 sunt prezentate o serie de imagini HRTEM obtinute pe un film de Sr<sub>0.85</sub>La<sub>0.15</sub>CuO<sub>2</sub> crescut pe bicristal simetric de SrTiO<sub>3</sub> (001), cu unghiul de 24°, cu strat tampon de BaTiO<sub>3</sub>. Imaginele confirmă caracterul monocristalin si epitaxia filmelor; datorita tratamentului termic la temperaturi mari defectele structurale in filmul de BaTiO<sub>3</sub> (rezultate in urma diferentelor intre parametrii de retea ai filmului si substratului, reprezentand un mecanism de relaxare) sunt pozitionate la interfata cu substratul, asa cum a fost observat si de alte grupuri [4].

## 2.2. Caracterizarea electrica a jonctiunilor.

Jonctiunile studiate pana acum au avut dimensiunile laterale de 10, 20, 50, 100, si 200 μm. In Fig 6 sunt prezentate rezultatele masuratorilor electrice obtinute pentru o jonctiune Josephson tip bicristal (dimensiunea de 100μm) din Sr<sub>0.85</sub>La<sub>0.15</sub>CuO<sub>2</sub> crescut pe bicristal simetric din SrTiO<sub>3</sub> (001), cu  $\alpha=30^\circ$ . Valoarea currentului critic este de  $I_c \sim 17.5 \mu\text{A}$ , rezultand o densitate de curent critic  $J_c$  de  $\sim 625 \text{ A/cm}^2$ , similar cu valorile obtinute pe jonctiunea de 50 μm latime. Evolutia currentului critic in functie de campul magnetic aplicat indica o structura Fraunhofer simetrica (deci o distributie uniforma a currentului critic de-a lungul jonctiunii), chiar si pentru aceste valori mari ale latimii jonctiunii.

Caracteristica curent-tensiune din Fig 6 confirma tunelarea perechilor Cooper prin jonctiune. Lipsa caracteristicii numite “zero bias conductance peak” (ZBCP) in reprezentarea dIdV ar sugera un parametru de ordine fara noduri, dar forma in V indica, indirect, un parametru de ordine cu noduri,

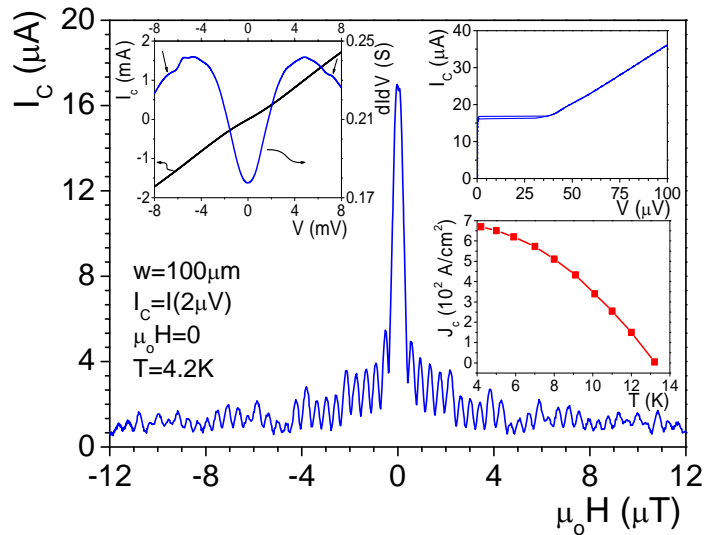
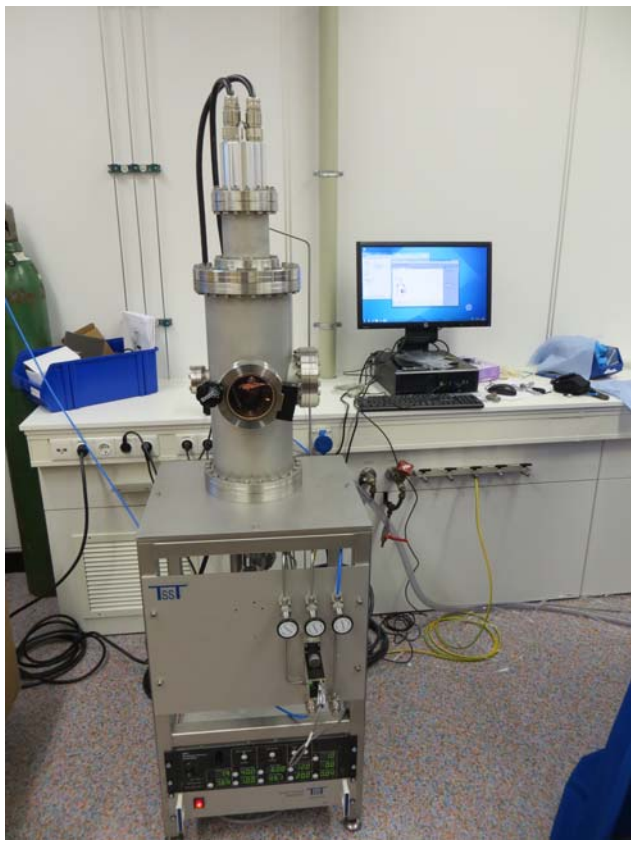


Fig. 6. Caracteristici electrice pentru o jonctiune Josephson pe baza de Sr<sub>0.85</sub>La<sub>0.15</sub>CuO<sub>2</sub> (latimea de 100 μm) obtinuta pe un bicristal simetric din SrTiO<sub>3</sub> (001), cu  $\alpha=30^\circ$ : a) caracteristica  $I_c$  vs  $B$ , unde  $I_c$ -currentul critic,  $B$ -valoarea campului magnetic aplicat jonctiunii (paralel cu axa c a filmului); b) caracteristica  $I_c$  vs  $T$ ; c) caracteristica curent-tensiune ( $I$ - $V$ ). Toate datele sunt obtinute la 4.2 K

confirmand rezultatele publicate recent [5]; absenta ZBCP indica o bariera cu (posibila) distributie neregulata a grosimii.

### 3. Echipamente instalate

Pentru fabricarea jonctiunilor, in etapele de pregatire a structurilor prin fotografie, se realizeaza corodarea fizica cu ioni de Ar. In acest scop a fost achizitionat un echipament de corodare fizica cu ioni de Ar (Fig. 7) care permite corodare fizica prin ioni de Ar de structuri (filme subtiri) metalice, oxidice sau pe baza de polimeri, prin intermediul unei masti (fotoresist sau metalice), la unghiuri variabile intre 0 si 90° (unghiul facut de normala la suprafata probei cu directia fascicului de ioni).



Avantajele sistemului fata de sistemele similare existente in IMT (RIE si DRIE):

- in timpul corodarii proba se roteste continuu, eliminand efectul redepunelerilor de material;
- corodarea se poate face la unghiuri variabile (0-90°) fata de normala probei;
- viteza de corodare variabila, prin modificarea puterii aplicate sursei de ioni si a distantei proba - sursa ioni; astfel, se pot atinge (si) vitezze de corodare foarte mici (~ 0.1 nm/s), in functie de materialul corodat;
- sistemul permite corodari fizice pentru o gama variata de materiale (metale, oxizi, polimeri), fara a exista problema impurificarii, comparativ cu sistemele RIE/DRIE utilizate preferential pentru compusi pe baza de Si;
- sistem compact ( $L \times l \times h = 50 \times 60 \times 200$  cm $^3$ ), unic in tara.

### 4. Concluzii

Filme subtiri si jonctiuni Josephson tip bicristal pe baza de  $\text{Sr}_{0.85}\text{La}_{0.15}\text{CuO}_2$  au fost fabricate prin ablatie laser, folosind drept suport monocristale [de  $\text{SrTiO}_3$ , (001),  $\text{KTaO}_3$  (001) sau  $\text{DyScO}_3$  (110)] sau bicristale simetrice sau asimetrice de  $\text{SrTiO}_3$  (001). Datele experimentale (RHEED, XRD, AFM, SEM, TEM) obtinute pe filme subtiri si jonctiuni Josephson tip bicristal pe baza de  $\text{Sr}_{0.85}\text{La}_{0.15}\text{CuO}_2$  au confirmat calitatea acestora, in timp ce masuratorile electrice efectuate pe jonctiunile studiate indic existenta fenomenului de tunelare a perechilor Cooper, valorile densitatii de curent critic obtinute fiind superioare materialelor supraconductoare similare (anume, supraconductorii cu temperatura critica ridicata cu conductie de tip n si structura T' din clasa  $\text{Nd}_{2-x}\text{Ce}_x\text{CuO}_4$ ). Spectrele

de conductanta, dIdV, sugereaza, indirect, o simetrie a parametrului de ordine cu noduri (d-wave). Totusi, ZBCP nu a fost observat, posibil datorita rugozitatii la nivelul barierei.

## Bibliografie

1. V. Leca, S. Bals, G. Van Tendeloo, D. H. A. Blank, and G. Rijnders, Superconducting  $\text{Sr}_{1-x}\text{La}_x\text{CuO}_2$  ( $x=0.10-0.20$ ) thin films with improved crystallinity grown by pulsed laser ablation, *Applied Physics Letters* **89**, 92504 (2006)
2. J. Tomaschko, V. Leca, T. Selistrovski, S. Diebold, J. Jochum, R. Kleiner, and D. Koelle, Properties of the electron-doped infinite-layer superconductor  $\text{Sr}_{1-x}\text{La}_x\text{CuO}_2$  epitaxially grown by pulsed laser deposition, *Physical Review B* **85**, 024519 (2012)
3. D. Koelle, R. Kleiner, F. Ludwig, E. Dantsker, and John Clarke, High-transition-temperature superconducting quantum interference devices, *Reviews in Modern Physics* **71**, 631 (1999)
4. K. Terai, M. Lippmaa, P. Ahmet, T. Chikyow, T. Fujii, H. Koinuma, and M. Kawasaki, In-plane lattice constant tuning of an oxide substrate with  $\text{Ba}_{1-x}\text{Sr}_x\text{TiO}_3$  and  $\text{BaTiO}_3$  buffer layers, *Applied Physics Letters* **80**, 4437 (2002)
5. J. Tomaschko, S. Scharinger, V. Leca, J. Nagel, M. Kemmler, T. Selistrovski, S. Diebold, J. Jochum, R. Kleiner, and D. Koelle, Phase-sensitive evidence for  $d_{x^2-y^2}$ -pairing symmetry in the parent-structure high- $T_c$  cuprate superconductor  $\text{Sr}_{1-x}\text{La}_x\text{CuO}_2$ , *Physical Review B* **86**, 094509 (2012)

Director proiect,



Victor Leca